

# 导电高分子能带的 Wannier 函数方法\*

刘晶南 童国平

(中国科技大学结构分析实验室, 合肥, 230026;  
复旦大学物理系, 上海, 200433)

傅 莹 堂

(上海技物所红外物理国家实验室, 200081;  
复旦大学物理系, 上海, 200433)

孙 鑫

(南开大学数学所, 天津, 300071;  
复旦大学物理系, 上海, 200433)

1990年7月14日收到, 1991年3月3日修改定稿.

导电高分子的 Peierls 不稳定性会在费米面上产生能隙, 它将半满能带分裂成价带和导带, 并使体系变为半导体. 本文给出了在二聚化的基础上利用 Wannier 函数来计算导电高分子能带的一般方法, 由此可改进紧束缚近似下的 SSH 模型. 我们把这一方法应用于聚乙炔链并采用二聚化的一维方势阱模型, 其结果是极为令人满意的.

## 一、引言

至今所发现的各种导电聚合物中, 要算聚乙炔链的结构最为简单. 人们对它的化学和物理性质已进行了比较系统的测量, 这为研究它的微观机制提供了必要的实验数据. 到目前为止, 从理论上探索聚合物链的物理模型, 大多采用了 SSH<sup>[1]</sup>(Su-Schrieffer-Heeger) 模型. 这种模型的出发点是以格点原子的波函数当作 Wannier 函数来处理, 即所谓 TBA 法(紧束缚近似, 文献中常称 LCAO). 在单电子近似下, SSH 模型对长链聚乙炔的孤子形成给出了一个清晰的图象, 获得了较大的成功<sup>[2]</sup>. 实际上, 由于聚乙炔的能带很宽(约为 10eV), 相邻原子的电子波函数交叠相当大, 紧束缚近似太粗糙. 要比较好地反映  $\pi$  电子的行为, 必须改进能带计算. 为此, 我们根据 W. Kohn 的基本思想<sup>[3]</sup>, 将晶格原子的波函数作适当的线性组合, 给出一套正交完备的归一基, 并以此基作为 Wannier 函数来计算能带. 对于通常的体系, 晶格是稳定的, 可以直接利用工作[3]的方法组成 Wannier 波函数. 但是, 导电高分子是准一维体系, 在电子-晶格的相互作用下, 导电高分子的晶格是不稳定的. 在半满能带的情况下, 晶格会发生二聚化, 原子要位移, 其位移量  $a$  的大小将由电子-晶格间的耦合强度来确定. 对于这种不稳定的晶格, 必须在考虑二聚化的基础上来

\* 国家自然科学基金和 863 计划资助项目.

组成 Wannier 函数, 才能求得由于 nesting 而在费米面上产生的能隙, 并得到 Peierls 相变后的导带和价带能谱<sup>[4]</sup>.

本文第二节给出二聚化时组成 Wannier 函数的一般方法. 第三节对方势阱进行数值计算以便于确定本方法的精确程度. 第四节对结果进行分析讨论.

## 二、理 论 方 法

大家知道, Wannier 函数有很好的定域特性, 因而被广泛应用于固体理论中. Wannier 函数定义为<sup>[5]</sup>

$$a_{\mu}(x - R_l) = \frac{1}{\sqrt{N}} \sum_{k \in BZ} e^{-ik \cdot R_l} \phi_{\mu k}(x). \quad (1)$$

这里  $\phi_{\mu k}(x)$  是 Bloch 函数,  $R_l$  是正格矢,  $\mu$  是能带指标. 对  $k$  求和只限于第一 Brilloin 区. Wannier 函数满足正交性

$$\int a_{\mu}^*(x - R_l) a_{\nu}(x - R_{l'}) dx = \delta_{\mu\nu} \delta_{ll'}. \quad (2)$$

此式表明了不同格点  $l$  的 Wannier 函数是彼此正交的 (不同能带的 Wannier 函数也正交). 根据 Bloch 函数的完备性可以推得 Wannier 函数的完备性,

$$\sum_{\mu} \sum_l a_{\mu}^*(x - R_l) a_{\mu}(x' - R_l) = \delta(x - x'). \quad (3)$$

要直接确定 Bloch 函数, 就得求解周期性势场中的 Schrödinger 方程, 这需要复杂的计算. 如果能够先求得 Wannier 函数, 就可利用 (1) 的反变换来求出 Bloch 函数, 从而得到能带. 在利用 Wannier 函数计算晶格的能带时, 往往近似地直接把原子的波函数取作 Wannier 函数, 这就是所谓的“紧束缚近似”法(TBA 法). 对于窄能带体系, 相邻原子波函数之间交叠较小, 这样做是合理的. W. P. Su, J. R. Schrieffer 和 A. J. Heeger<sup>[1]</sup> (SSH 模型) 采用了 TBA 法比较成功地给出了聚乙炔链的孤子激发理论. 然而, 导电高分子的能带很宽, TBA 过于粗糙, 必须加以改进.

对于稳定的晶格, 可直接用格点上原子波函数  $\varphi_n(x)$  来组成 Wannier 波函数. 由于导电高分子的晶格在电子-晶格作用下具有不稳定性并导致二聚化, 这时第  $n$  个格点上的原子将产生位移  $u_n = (-1)^n u$ . 二聚化后晶格的周期性由原来的晶格常数  $a$  变为  $2a$ , 同时在费米面上打开一个能隙  $2\Delta$ .  $u$  和  $\Delta$  都决定于电子-晶格的相互作用强度. 对于二聚化的晶格, 每个原胞将由两个原子所组成, 这时可先求出每个原胞中的原胞波函数  $\Phi_{\mu}(x)$ ,  $\mu$  表示原胞波函数中的量子数, 然后再由原胞波函数  $\Phi_{\mu}(x)$  组成二聚化晶格的 Wannier 波函数. 在二聚化情况下, 原胞波函数  $\Phi_{\mu}(x)$  对应于原胞中两个原子波函数所形成的成键和反键态, 在形成能带后分别对应于价带和导带. 很明显原胞波函数  $\Phi_{\mu}(x)$  的具体形式依赖于二聚化位移  $u$ .

设第  $l$  个原胞的波函数为  $\Phi_{\mu}(x - x_l)$ , 则第  $l$  个原胞的 Wannier 函数为

$$W_{\mu}(x - x_l) = C_{\mu,0} \Phi_{\mu}(x - x_l) + \sum_n C_{\mu,n} [\Phi_{\mu}(x - x_{l+n}) + \Phi_{\mu}(x - x_{l-n})]. \quad (4)$$

式中  $C_{\mu,n}$  是组合系数, 它是位移  $u$  的函数, 由正交条件确定. 写成上面的形式是出于链

的对称性考虑。因为第  $l+n$  个原胞与第  $l-n$  个原胞具有相同的贡献。对第  $l \pm n$  个原胞的公式, 可将(4)式中的  $l$  换成  $l \pm n$  即可, 这样可以写出所有原胞的 Wannier 函数。组合系数可由(2)式来确定

$$\begin{aligned}
 \delta_{\mu\nu}\delta_{ll'} = & \int W_{\mu}^{*}(x - x_l)W_{\nu}(x - x_{l'})dx \\
 = & C_{\mu,0}C_{\nu,0}S_{\mu\nu}(l, l') + \sum_m C_{\mu,m}C_{\nu,m}[S_{\mu\nu}(l, l' + m) + S_{\mu\nu}(l, l' - m)] \\
 & + \sum_n C_{\mu,n}C_{\nu,n}[S_{\mu\nu}(l + n, l') + S_{\mu\nu}(l - n, l')] \\
 & + \sum_{mn} C_{\mu,n}C_{\nu,m}[S_{\mu\nu}(l + n, l' + m) + S_{\mu\nu}(l + n, l' - m) \\
 & + S_{\mu\nu}(l - n, l' + m) + S_{\mu\nu}(l - n, l' - m)] \\
 = & C_{\mu,0}^2S_{\mu\mu}(l, l')\delta_{\mu\nu} + 2 \sum_n C_{\mu,0}C_{\mu,n}\delta_{\mu\nu}[S_{\mu\mu}(l, l' + n) \\
 & + S_{\mu\mu}(l, l' - n)] + \sum_{nm} C_{\mu,n}C_{\mu,m}[S_{\mu\mu}(l, l' + m - n) \\
 & + S_{\mu\mu}(l, l' - m - n) + S_{\mu\mu}(l, l' + m + n) \\
 & + S_{\mu\mu}(l, l' - m + n)]\delta_{\mu\nu}. \tag{5}
 \end{aligned}$$

式中最后一步已考虑了系统的平移不变性, 其中

$$S_{\mu\nu}(i, j) = \int \Phi_{\mu}^{*}(x - x_i)\Phi_{\nu}(x - x_j)dx \tag{6}$$

是第  $i$  个原胞的波函数与第  $j$  个原胞的波函数的交叠积分。一般情况下  $S_{\mu\nu}(i, j) \neq 0$ , 这就是我们的理论的主要根据。对  $W_{\mu}(x - x_l)$  进行逆变换便可得到 Bloch 波函数

$$\phi_{\mu k}(x) = \frac{1}{\sqrt{N}} \sum_l e^{ikx_l} W_{\mu}(x - x_l). \tag{7}$$

设单电子的哈密顿量为

$$H = -\frac{\hbar^2}{2m} \nabla^2 + \sum_l V(x - x_l). \tag{8}$$

由(7)及(8)可求得单电子的能谱为

$$\begin{aligned}
 E_{\mu}(k) = & \int \phi_{\mu k}^{*}(x)H\phi_{\mu k}(x)dx \\
 = & \frac{1}{N} \sum_{ll'} e^{ik(x_l - x_{l'})} \int W_{\mu}^{*}(x - x_l)HW_{\mu}(x - x_{l'})dx \\
 = & \frac{1}{N} \sum_{ll'} e^{ik(x_{l'} - x_l)} \delta_{\mu}(x_{l'} - x_l) \\
 = & \sum_{(l' - l)} e^{ik(x_{l'} - x_l)} \delta_{\mu}(x_{l'} - x_l), (l' - l) = 0, \pm 1, \pm 2, \dots \tag{9}
 \end{aligned}$$

式中  $\delta_{\mu}$  是  $H$  在(4)式下的矩阵元, 它是非对角化的,

$$\begin{aligned}
 s_\mu(x_l - x_{l'}) &= \int W^*(x - x_l) H W_\mu(x - x_{l'}) dx \\
 &= C_{\mu,0}^2 H_\mu(l, l') + 2C_{\mu,0} \sum_n C_{\mu,n} [H_\mu(l, l' + n) \\
 &\quad + H_\mu(l, l' - n)] + \sum_{nm} C_{\mu,n} C_{\mu,m} [H_\mu(l, l' + m - n) \\
 &\quad + H_\mu(l, l' - m - n) + H_\mu(l, l' + m + n) \\
 &\quad + H_\mu(l, l' - m + n)], \tag{10}
 \end{aligned}$$

其中矩阵元  $H_\mu(i, j)$  由下式给出

$$H_\mu(i, j) = \int \Phi_\mu^*(x - x_i) H \Phi_\mu(x - x_j) dx. \tag{11}$$

由此可见, 知道了  $H$  及  $\Phi_\mu$  后便可求得电子能谱.

### 三、方势阱模型

为了确定本方法的精确程度, 需要取一种能严格求解的势场, 以便将本方法的结果与严格解加以比较. 因而本节将以 Kronig-Penney 模型作具体计算, 此时势  $V(x - x_n)$  为周期性方势阱, 如图 1 所示. 那么, 每个原胞的势可写成

$$V_{cell}(x) = \begin{cases} -V_0, & -(b+c) < (x - x_n) < -b, \quad b < (x - x_n) < (b+c) \\ 0, & \text{其它.} \end{cases} \tag{12}$$

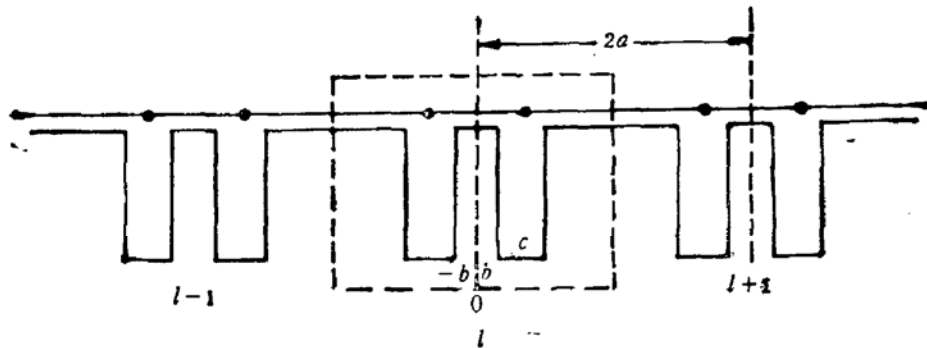


图 1 二聚化的一维聚乙炔链

其中  $V_0$  是势垒的深度,  $c$  是势阱的宽度,  $b$  是与晶格二聚化畸变程度有关的量,  $x_n$  是第  $n$  个原胞的位置,  $x_n$  和  $b$  由下式给出:

$$\begin{aligned}
 x_n &= 2na, \quad n = 0, \pm 1, \pm 2, \dots \\
 b &= (a - c)/2 - u.
 \end{aligned} \tag{13}$$

上式中  $a$  是无二聚化的链的晶格常数,  $u$  是晶格二聚化畸变振幅. 原胞的哈密顿量为

$$H_{cell} = -\frac{\hbar^2}{2m} \nabla^2 + V_{cell}(x) \tag{14}$$

相应的定态 Schrödinger 方程是

$$\left( -\frac{\hbar^2}{2m} \nabla^2 + V_{cell}(x) \right) \Phi(x) = E \Phi(x) \tag{15}$$

求解(15)式就可得到单个原胞的波函数：

对称态

$$\Phi_s(x) = A_s \begin{cases} e^{-\beta_s x}, & x > (b+c) \\ e^{\beta_s x}, & x < -(b+c) \\ (D_s \cos \alpha_s x - C_s \sin \alpha_s x), & b < x < b+c \\ (D_s \cos \alpha_s x + C_s \sin \alpha_s x), & -(b+c) < x < -b \\ G_s \cosh \beta_s x, & -b < x < b \end{cases} \quad (16a)$$

反对称态

$$\Phi_a(x) = A_a \begin{cases} e^{-\beta_a x}, & x > b+c \\ -e^{\beta_a x}, & x < -(b+c) \\ (D_a \cos \alpha_a x + C_a \sin \alpha_a x), & b < x < (b+c) \\ (-D_a \cos \alpha_a x + C_a \sin \alpha_a x), & -(b+c) < x < -b \\ G_a \sinh \beta_a x, & -b < x < b \end{cases} \quad (16b)$$

利用波函数及其导数在  $x = b, (b+c)$  处连续(由于有对称性可只考虑  $x$  大于 0 的解)可解得决定(15)式中能量  $E$  的两个方程：

$$\beta_s \operatorname{th} \beta_s b = \frac{\alpha_s^2 - \alpha_s \beta_s \operatorname{ctg} \alpha_s c}{\alpha_s \operatorname{ctg} \alpha_s c + \beta_s} \quad (\text{对称}), \quad (17a)$$

$$\beta_a \operatorname{cth} \beta_a b = \frac{\alpha_a^2 - \alpha_a \beta_a \operatorname{ctg} \alpha_a c}{\alpha_a \operatorname{ctg} \alpha_a c + \beta_a} \quad (\text{反对称}), \quad (17b)$$

其中

$$\alpha_\mu = \sqrt{\frac{2m}{\hbar^2}(V_0 + E_\mu)}, \quad \beta_\mu = \sqrt{-\frac{2m}{\hbar^2} E_\mu} \quad (18)$$

$$E_\mu < 0, \quad (\mu = s, a).$$

(16)式中的各系数可由边界条件及归一化条件来确定。将(16)式代入(4)式便可得到  $W_\mu(x - x_l)$ 。原则上,由(9), (10)及(11)式可求出电子的能谱。为了给出一个定量的结果,将(4)式对  $n$  求和取至次近邻( $n = 2$ )。那么由(5)式很容易写出决定  $C_{\mu,0}$ ,  $C_{\mu,1}$  和  $C_{\mu,2}$  的三个方程(略),由计算机进行数值求解便可得出系数。在这种近似下,(10)式可写成如下三个矩阵元(略去带指标)：

$$\begin{aligned} \mathbf{s}(0) = & (C_0^2 + 2C_1^2 + 2C_2^2)H(l, l) \\ & + 4(C_0C_1 + C_1C_2)H(l, l+1) \\ & + 2(2C_0C_2 + C_1^2)H(l, l+2) \\ & + 4C_0C_2H(l, l+3) + 2C_2^2H(l, l+4) \end{aligned} \quad (19a)$$

$$\begin{aligned} \mathbf{s}(1) = & 2(C_0C_1 + C_1C_2)H(l, l) \\ & + (C_0^2 + 2C_0C_2 + 3C_1^2 + 2C_2^2)H(l, l+1) \\ & + (2C_0C_1 + 4C_1C_2)H(l, l+2) \\ & + (2C_0C_2 + C_1^2 + C_2^2)H(l, l+3) \\ & + 2C_1C_2H(l, l+4) + C_2^2H(l, l+5) \end{aligned} \quad (19b)$$

$$\begin{aligned}
 s(2) = & (2C_0C_2 + C_1^2)H(l, l) \\
 & + (2C_0C_1 + 4C_1C_2)H(l, l+1) \\
 & + (C_0^2 + 2C_1^2 + 3C_2^2)H(l, l+2) \\
 & + 2(C_0C_1 + C_1C_2)H(l, l+3) \\
 & + (2C_0C_2 + C_1^2)H(l, l+4) \\
 & + 2C_1C_2H(l, l+5) + C_2^2H(l, l+6)
 \end{aligned} \quad (19c)$$

其中矩阵元  $H(l, l+n)$  由(11)式决定

$$\begin{aligned}
 H(l, l+n) = & \int \Phi_u^*(x - x_l) H \Phi_\mu(x - x_{l+n}) dx \\
 = & \int \Phi_u^*(x - x_l) \left[ -\frac{\hbar^2}{2m} \nabla^2 + \sum_i V_{\text{cell}}(x - x_i) \right] \\
 & \cdot \Phi_\mu(x - x_{l+n}) dx \\
 = & E_\mu S_{\mu\mu}(l, l+n) + J_{\mu\mu}(l, l+n), (n = 0-6).
 \end{aligned} \quad (20)$$

这里  $E_\mu$  代表单个原胞的电子能级,

$$E_\mu = \int \Phi_u^*(x - x_l) \left[ -\frac{\hbar^2}{2m} \nabla^2 + V_{\text{cell}}(x - x_l) \right] \Phi_\mu(x - x_l) dx$$

其值由(17)和(18)式决定。(20)式中的  $J_{\mu\mu}(l, l+n)$  是多中心交迭积分

$$\begin{aligned}
 J_{\mu\mu}(l, l+n) = & \int \Phi_u^*(x - x_l) \sum_{i=l+n} V(x - x_i) \Phi_\mu(x - x_{l+n}) dx \\
 (n = 0-6).
 \end{aligned} \quad (21)$$

上式中的积分仅对每个原胞的两个势阱宽度积分才有贡献。由于取的势场是方势阱，这个交迭积分是很容易计算的。将(9)式取至次近邻，并考虑到链的对称性，可得单电子的能谱为

$$E_\mu(k) = s_\mu(0) + 2s_\mu(1) \cos 4\pi k a + 2s_\mu(2) \cos 8\pi k a \quad (22)$$

这里角标  $\mu$  代表价带和导带。能带宽度和能隙为

$$\begin{aligned}
 W_d &= E_g(k=0) - E_g(k=0) \\
 E_g &= E_g(k=k_F) - E_g(k=k_F)
 \end{aligned} \quad (23)$$

其中  $k_F = 1/4a$  是费米动量。

#### 四、计算结果与讨论

在方势阱模型下，取晶格常数  $a = 1.22 \text{ \AA}$ ，势阱宽度  $c = 0.6 \text{ \AA}$ ，二聚化畸变振幅  $\alpha = 0.05$  和  $0.1 \text{ \AA}$ ，势阱深度分别取 40 和 80 eV。对(3.11)式进行了数值计算，电子能谱如图 2 所示。图 2 中的虚线代表本文解，实线代表二聚化的 Kronig-Penney 模型的严格解。上面的曲线是导带，下面的曲线是价带。从计算结果来看，势阱愈深且二聚化愈大时，与严格解吻合比较好，特别是能带的宽度和能隙符合得相当好。这说明二聚化较大时，格点两两结合已接近真实的原胞，这时费米面上的能隙打开比较大。另一方面，从图 2 中可见，在相同势阱宽度下，势阱愈浅偏差愈大，特别是导带部分。这是由于势阱较浅时，相邻

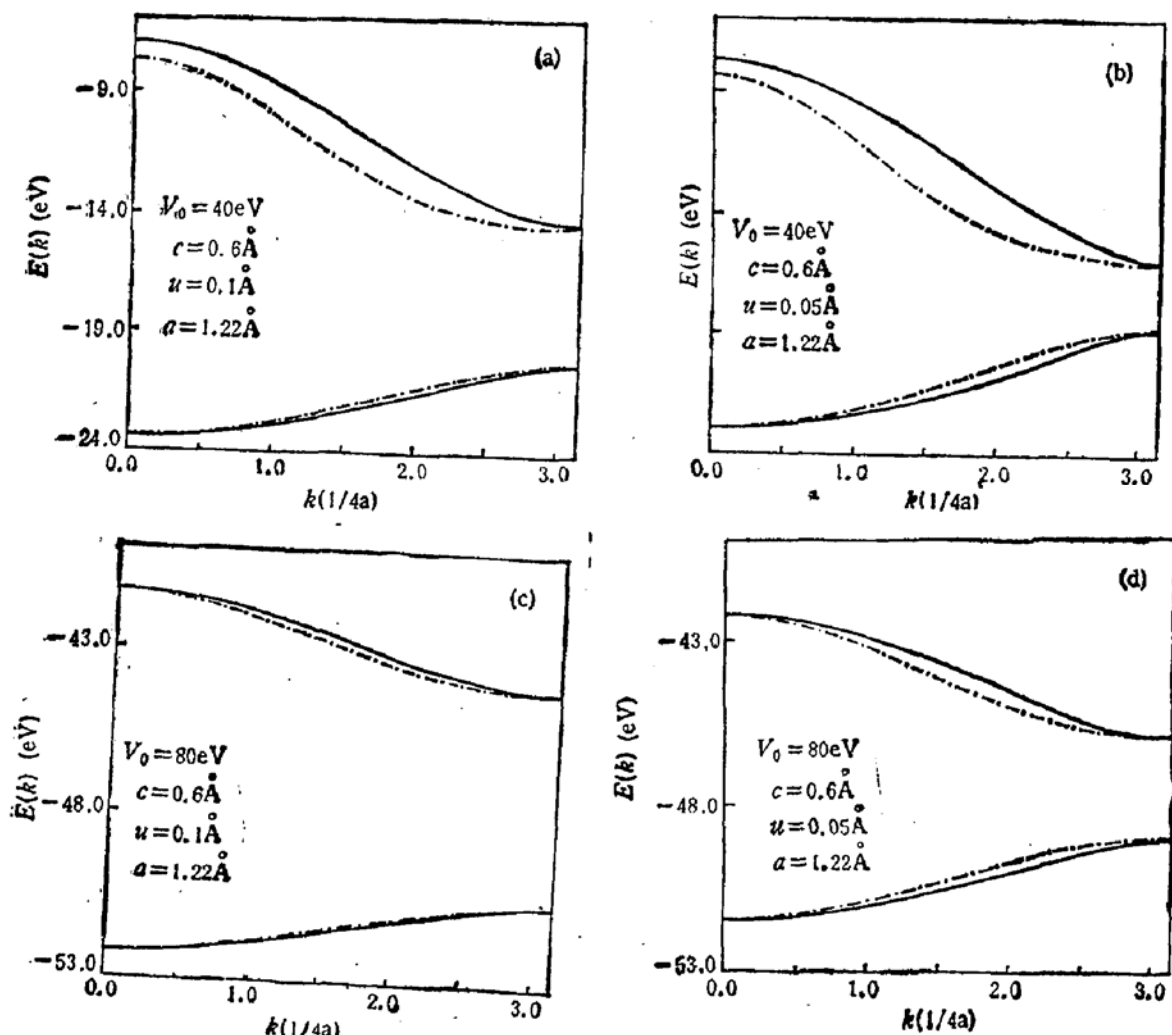


图 2 电子能谱

格点的波函数交叠增大。(4)式的级数收敛就较慢,应该取至三近邻甚至更多的原胞。另外一个原因是势阱浅了第一激发态与其它激发态(包括连续谱)挨得较近,受到其它激发态的影响就会较大。而势阱较深时,第一激发态离其它激发态较远,受到的影响就较小。因此从图 2 中可明显地看出导带的吻合程度不如价带。方势阱的束缚态数目取决于势阱的宽度及深度。

图 2 中的数值结果只是在公式(4)中取了  $n = 2$ , 其精确程度已达到 5%, 如果需要更高的精确度可取  $n = 3$  或  $4$ 。因此,本文提供了一种简便有效的计算能带的方法,可针对不同的精确度的需要来组建 Wannier 函数。

计算工作分别是在复旦大学计算中心 DPS8 机上及复旦大学遗传所的 VAX 机上完成的。在此一并向他们致谢。

### 参 考 文 献

- [1] W. P. Su, J. Schrieffer, and A. J. Heeger, *Phys. Rev.*, **B22**, 2099(1980).
- [2] A. J. Heeger, S. Kivelson, J. R. Schrieffer, and W. P. Su, *Rev. Mod. Phys.*, **60**, 781(1988).
- [3] W. Kohn, *Phys. Rev.*, **B7**, 4388(1973).

- [4] C. Wu, X. Sun and K. Nasu, *Phys. Rev. Lett.*, **59**, 831(1987).  
 [5] G. Wannier, *Phys. Rev.*, **52**, 191 (1937).

## Wannier-Function Method of Energy Bands for Conducting Polymers

Liu Jingnan Tong Guoping

*(Lab of Structure Analysis, University of Science and Technology of Hefei, 230026; China,*

*Department of Physics, Fudan University, Shanghai, 200433)*

Fu Rongtang

*(National Lab of Infrared Physics, Shanghai Institute of Technical Physics;*

*Department of Physics, Fudan University, Shanghai, 200433)*

Sun Xin

*(Nankai Institute of Mathematics, Tianjin; Department of Physics, Fudan University, Shanghai, 200433)*

### Abstract

The Peierls instability of conducting polymers opens a gap at the Fermi surface, and the half filled band is split into a valence band and a conduction band, and the system becomes a semiconductor. This paper gives a general method in which the dimerized Wannier Function is used to calculate the bands of conducting polymers, and the tight-binding SSH model can be improved. We apply the method to polyacetylene chain and employ the one-dimensional square well of dimerization, the results are very satisfactory.